

НАУЧНО-ТЕХНИЧЕСКИЙ РАЗДЕЛ

УДК 620.178, 620.179

Анализ вибродиагностических показателей наличия дышащей поверхности трещины разной геометрии в стержне круглого поперечного сечения

В. В. Матвеев, Е. А. Онищенко

Институт проблем прочности им. Г. С. Писаренко НАН Украины, Киев, Украина

Рассмотрен метод приближенного расчета возможных значений вибродиагностических показателей наличия в стержне круглого поперечного сечения дышащей поверхности трещины с различной конфигурацией ее фронта (полуэллиптическая, полукруглая и прямолинейная) при супер- и субгармоническом резонансах по какой-либо собственной форме изгибных колебаний. Расчет вибродиагностических показателей наличия трещины выполнен на примере консольного стержня в случае резонанса, соответствующего первой собственной форме колебаний при силовом и кинематическом возбуждении. Получены зависимости диагностических показателей от места приложения вынуждающей силы, местоположения, относительной глубины и относительной площади трещины для разных отношений полуосей эллипса и для трещин с прямолинейным и полукруглым фронтом. Приведено некоторое сравнение результатов расчета с данными, полученными с помощью конечноэлементной модели.

Ключевые слова: вибродиагностика усталостного повреждения, дышащая поверхность трещина, конечноэлементная модель, суб- и супергармонические резонансы.

Введение. Ранее [1] на примере консольного стержня круглого поперечного сечения с полуэллиптической трещиной нормального отрыва был рассмотрен расчет вибродиагностических показателей наличия такой дышащей трещины при возбуждении супергармонического порядка 1/2 и субгармонического 2-го порядка резонансов по первой собственной форме изгибных колебаний. В решении для вычисления определяющего параметра – параметра нелинейности колебательной системы – использовались известные справочные данные по коэффициенту интенсивности нормальных напряжений (КИН) в точках фронта трещины [2]. Однако отсутствие аппроксимационных формул для указанного вида трещин, ограниченность табличных и графических данных, особенно по значению КИН по фронту трещины при различных ее параметрах, обусловили необходимость нахождения весьма приближенных аппроксимирующих функций для каждого конкретного отношения полуосей эллипса и радиуса поперечного сечения стержня и исключили возможность рассмотрения предельных конфигураций трещины: с прямым и полукруглым фронтом.

В данной работе с использованием обобщенной полиномиальной зависимости для вычисления КИН в любой точке фронта поверхности полуэллиптической трещины нормального отрыва, полученной в [3], рассмотрим возможности расчета вибродиагностических показателей наличия полуэллиптической трещины любых параметров, включая трещины с прямым и полукруглым фронтом.

Исходные положения. В качестве вибродиагностических показателей при указанных резонансах какой либо j -й собственной формы изгибных колебаний стержня используются отношения амплитуд гармоник в выбранном сечении стержня: второй, резонирующей к первой при суперрезонансе порядка 1/2 ($\bar{A}_{2/1} = A_{2j}/A_{1\Sigma}$), и первой, резонирующей ко второй при субрезонансе 2-го порядка ($A_{1/2} = A_{1j}/A_{2\Sigma}$), которые определяются через параметр нелинейности α и логарифмический декремент колебаний δ исследуемой колебательной системы с дышащей трещиной по следующим формулам [1]:

$$\bar{A}_{2j} \cong 0,58 \frac{\alpha}{\delta} \lambda_{1j} \quad \text{при} \quad \bar{A}_{2j} \leq 0,9 \quad \text{и} \quad \bar{A}_{2j} \cong 0,725 \lambda_{1j} \sqrt{\frac{\alpha}{\delta}} \quad \text{при} \quad \bar{A}_{2j} > 0,9; \quad (1)$$

$$\bar{A}_{1j} \cong \frac{4\alpha}{3\delta} \left(\lambda_{2j}^2 + \frac{1}{9} \left(\frac{8\alpha^2}{9\pi\delta} \right)^2 \right)^{-1/2}. \quad (2)$$

Коэффициенты λ_{1j} и λ_{2j} определяются по результатам расчета методом нормальных форм вынужденных колебаний цельного стержня на частоте супер- и субрезонанса соответственно через отношения амплитуды гармоники j -й формы колебаний и полной амплитуды ΣA_i колебаний:

$$\lambda_{1j} = \frac{A_{1j}}{\sum_{i=1}^3 A_{1i}}, \quad \lambda_{2j} = \frac{\sum_{i=1}^3 A_{2i}}{A_{2j}}. \quad (3)$$

Приведенные формулы (1), (2) получены в предположении неизменности собственных форм колебаний упругого тела при открытии трещины, что ограничивает их использование случаем относительно малых трещин. Следует заметить, что режимы колебаний при слабом субгармоническом резонансе, т.е. в случае $\bar{A}_{1j} < 1$, неустойчивы, и экспериментальное определение амплитуды первой резонирующей гармоники A_{1j} будет возможным при значении $\alpha > \frac{3}{4}\delta(A_{1j})$. При определении амплитуды второй резонирующей гармоники A_{2j} в случае возбуждения супергармонического резонанса важным является исключение в системе возбуждения паразитной второй гармоники.

Представленные вибропоказатели (1), (2) зависят от значений логарифмического декремента колебаний δ и обусловленного периодическим открытием поверхности полуэллиптической трещины (рис. 1) параметра нелинейности α колебательной системы при ее деформировании по j -й форме в составе остальных возбуждаемых форм вынужденных колебаний на частоте соответствующего резонанса

$$\alpha = \frac{\chi}{1+\chi}, \quad (4)$$

где χ – энергетическая характеристика повреждения, равная отношению возможного приращения потенциальной энергии деформации стержня, обусловленного открытием трещины $\Delta\Pi_{jt}$, к потенциальной энергии деформации стержня по j -й форме вынужденных колебаний Π_j на частоте рассматриваемого резонанса:

$$\chi = \frac{\Delta \Pi_{jt}}{\Pi_j}. \quad (5)$$

Приращение потенциальной энергии $\Delta \Pi_{jt}$ и энергия деформации Π_j определяются по результатам расчета вынужденных колебаний цельного стержня при его изгибе по j -й форме в составе остальных возбуждаемых форм через коэффициент интенсивности напряжений K_1 :

$$\Delta \Pi_{jt} = \frac{1}{E'} \iint_{(S)} K_1^2 dS = \frac{1}{E'} \iint_{(S)} K_1^2 \delta \bar{\rho} \cos \theta d\Gamma. \quad (6)$$

Здесь dS – элемент площади поверхности трещины у ее фронта; $\delta \bar{\rho}$ – вектор возможного смещения точки фронта-контура Γ трещины; θ – угол между $\delta \bar{\rho}$ и нормалью к контуру трещины; $E' = E$ – при плоском напряженном состоянии; $E' = E/(1-\mu^2)$ – при плоской деформации, где E – модуль упругости материала стержня; μ – коэффициент Пуассона. Не анализируя возможное напряженное состояние по фронту трещины, в дальнейшем будем определять меньшее значение $\Delta \Pi_{jt}$, т.е. принимая условие плоской деформации при $\mu = 0,3$.

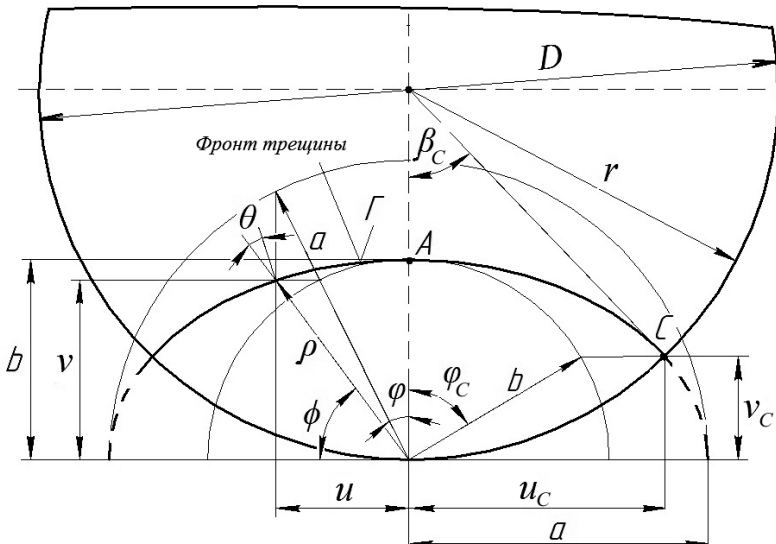


Рис. 1. Геометрия поверхностной полуэллиптической трещины в стержне круглого поперечного сечения.

В работе [1] вычисление $\Delta \Pi_{jt}$ выполнялось для двух возможных вариантов изменения фронта трещины. Первый – в предположении постоянного отношения полуосей эллипса ($a/b = \text{const}$), второй – при постоянном относительном значении большей полуоси ($a/D = \text{const}$). Поскольку результаты вычислений по этим вариантам практически не отличались, рассмотрим только первый, для которого формула (6) в случае использования полярных координат принимает вид

$$\Delta \Pi_{jt} = \frac{2}{E'} \frac{a}{b} \int_0^b \int_0^{\varphi_C} K_1^2 b db d\varphi. \quad (7)$$

Коэффициент интенсивности нормальных напряжений K_I по фронту трещины определялся по формуле [2]

$$K_I = \frac{4M_t}{\pi r^3} F_1 \sqrt{\pi c}, \quad (8)$$

где M_t – изгибающий момент в сечении расположения трещины $x = x_t$; c – полу-длина дуги окружности сечения стержня, охватываемой трещиной ($c = r\beta_C$); F_1 – поправочный коэффициент, или безразмерный КИН, который в [1] был представлен в приближении в виде функции $F_1(z, \bar{\varphi})$ двух переменных: относительного угла $\bar{\varphi} = \varphi/\varphi_C$ и относительной текущей глубины трещины $z = b/r$.

Особенность использования формулы (8) заключается в том, что M_t вычислялся нами по результатам расчета вынужденных колебаний цельного стержня при его деформировании по j -й форме в составе остальных форм колебаний на частоте соответствующего резонанса:

$$M_t = EI \left[\left(\frac{d^2 y_j}{dx^2} \right) \sum_{i=1}^N \left(\frac{d^2 y_i}{dx^2} \right) \right]_{x=x_t}, \quad (9)$$

где I – осевой момент инерции поперечного сечения стержня; $y_i(x)$ – амплитудная функция прогибов стержня по i -й форме; N – количество учитываемых форм колебаний.

Определяя с учетом условия ортогональности собственных форм колебаний потенциальную энергию деформирования стержня по j -й форме в составе остальных форм Π_j как по изолированной, для диапазона возможных значений относительных параметров трещины, отражаемых функцией $F_1(z, \bar{\varphi})$, было найдено

$$\chi = 16(1-\mu^2) \frac{a}{b} r \int_0^{b/r} z \varphi_C(z) \beta_C(z) \int_0^1 (F_1(z, \bar{\varphi}))^2 d\bar{\varphi} dz \frac{\left[\left(\frac{d^2 y_j}{dx^2} \right) \sum_{i=1}^N \left(\frac{d^2 y_i}{dx^2} \right) \right]_{x=x_t}}{\int_0^l \left(\frac{d^2 y_j}{dx^2} \right)^2 dx}, \quad (10)$$

где для рассматриваемой полуэллиптической трещины

$$\varphi_C(z) = \arccos \left(\frac{-1}{\left(\frac{a^2}{b^2} - 1 \right) z} \left[1 - \sqrt{1 + \frac{a^2}{b^2} \left(\frac{a^2}{b^2} - 1 \right) z^2} \right] \right), \quad (11)$$

$$\beta_C(z) = \arccos(1 - z \cos \varphi_C). \quad (12)$$

Расчет энергетической характеристики χ для всего диапазона относительных параметров трещины. При известных аналитических функциях $y_i(x)$ для заданных граничных условий и возбуждающей нагрузки основным для определения χ по (10) является нахождение зависимости коэффициента F_1 для данного отношения a/b от относительной глубины трещины z и относительного угла $\bar{\varphi}$, т.е.

изменение его значений по всему фронту трещины при разной ее относительной глубине.

К сожалению, как уже отмечалось, в [2] для рассматриваемого случая поверхности трещины отсутствуют какие-либо аппроксимирующие зависимости для коэффициента F_1 . Табличные значения F_1 для ряда отношений b/r и b/a приведены только для точек A и C (рис. 1), а графики зависимости F_1 от $\bar{\varphi}$ при тех же отношениях b/a – только для значения $b/r = 0,4$. Для крайних конфигураций трещины с прямолинейным и полукруглым фронтом значения коэффициента F_1 приведены в виде графика его зависимости от отношения b/r только для точки A и при отношении радиуса полукруглой трещины к диаметру поперечного сечения стержня, равном 0,75. Поэтому в работе [1] по приведенным в [2] графикам и таблицам аппроксимирующая зависимость коэффициента F_1 от z и $\bar{\varphi}$ была представлена в явном приближении для одного значения $a/b = 2,5$.

В этом отношении по сравнению с отмеченными данными справочника [2], как и более полными [4], очень удобными для практического использования являются результаты работы [3]. В последней по результатам численного решения с использованием конечноэлементной модели, а также многопараметрической припасовывающей методики и некоторого их сравнения с экспериментальными и известными данными получена обобщенная полиномиальная зависимость для вычисления коэффициента F_1 при любых параметрах полуэллиптической трещины в любой точке ее фронта.

Коэффициент интенсивности напряжений K_1 определялся по классической формуле:

$$K_1 = \frac{32M_T}{\pi D^3} F_1 \left(\frac{b}{a}, \frac{b}{D}, \frac{u}{u_C} \right) \sqrt{\pi b} \quad (13)$$

с представлением F_1 в виде функции трех переменных: отношения полуосей эллипса (b/a), относительной глубины трещины ($b/D = \gamma$) и относительного положения точек по фронту трещины ($u/u_C = \bar{u}$):

$$F_1 \left(\frac{b}{a}, \frac{b}{D}, \frac{u}{u_C} \right) = \sum_{p=0}^2 \sum_{m=0}^6 \sum_{n=0}^2 N_{pmn} \left(\frac{b}{a} \right)^p (\gamma)^m (\bar{u})^n, \quad (14)$$

значения коэффициентов N_{pmn} находятся из таблицы.

Значения коэффициентов N_{pmn} для определения F_1 [3]

m	n , равное									
	0			1			2			
	при p									
	0	1	2	0	1	2	0	1	2	
0	1,346	-0,64	-0,022	0,19	-0,347	0,175	-0,926	1,399	-0,454	
1	-9,627	6,435	0,207	-1,323	2,839	-1,635	6,767	-10,348	2,4	
2	82,244	-36,062	-22,436	8,317	-18,649	9,091	-42,734	71,26	-4,388	
3	-360,65	102,765	148,962	-31,454	70,186	-32,253	162,595	-263,786	-18,246	
4	841,678	-151,83	-426,773	66,389	-142,227	60,188	-345,453	531,56	110,187	
5	-973,482	107,831	554,803	-71,557	144,956	-55,293	375,935	-544,306	-186,619	
6	449,146	-27,262	-276,533	31,022	-58,87	19,041	-165,151	225,705	108,877	

Для использования формул (13), (14) при координатах точек фронта трещины $u = a \sin \varphi$, $v = b \cos \varphi$ (рис. 1) воспользуемся имеющимся выражением (7), и для возможности интегрирования функции F_1 по контуру трещины отношение (u/u_C) представим в виде

$$\frac{u}{u_C} = \frac{\sin \varphi}{\sin \varphi_C}, \quad (15)$$

где φ_C при $a/b = \text{const}$ определяется выражением (11) как функция от $\gamma = z/2$.

Тогда с учетом (13)–(15) и (9) формула (7) принимает вид

$$\Delta \Pi_{jr} = 32E'I \frac{a}{b} D \int_0^{b/D} (\gamma)^2 \int_0^{\varphi_C} F_1 \left(\frac{b}{a}, \gamma, \frac{\sin \varphi}{\sin \varphi_C} \right) d\varphi d\gamma \left[\left(\frac{d^2 y_j}{dx^2} \right) \sum_{i=1}^N \left(\frac{d^2 y_i}{dx^2} \right) \right]_{x=x_r}. \quad (16)$$

С использованием выражения для потенциальной энергии деформации стержня по j -й форме вынужденных колебаний на частоте соответствующего резонанса в виде

$$\Pi_j = \frac{EI}{2} \int_0^l \left(\frac{d^2 y_j}{dx^2} \right) dx \text{ находим энергетическую характеристику повреждения (5):}$$

$$\begin{aligned} \chi = 64(1-\mu^2) \frac{a}{b} D \int_0^{b/D} (\gamma)^2 \int_0^{\varphi_C} \left(F_1 \left(\frac{b}{a}, \gamma, \frac{\sin \varphi}{\sin \varphi_C} \right) \right)^2 d\varphi d\gamma \times \\ \times \frac{\left[\left(\frac{d^2 y_j}{dx^2} \right) \sum_{i=1}^N \left(\frac{d^2 y_i}{dx^2} \right) \right]_{x=x_r}}{\int_0^l \left(\frac{d^2 y_j}{dx^2} \right)^2 dx}. \end{aligned} \quad (17)$$

Для строго полуэллиптической трещины значение φ_C определяется по формуле (11), а в случае предельной конфигурации с полукруглым фронтом ($a = b$) –

$$\varphi_C(\gamma) = \arccos \frac{b}{D}. \quad (18)$$

Для предельной конфигурации трещины со строго прямолинейным фронтом следует использовать первое выражение в формуле (6) при $dS = dbdu = u_C dbd\bar{u}$, где

$$u_C = \sqrt{b(D-b)}. \quad (19)$$

В этом случае

$$\Delta \Pi_{jr} = 32E'ID \int_0^{b/D} \gamma \int_0^1 \sqrt{\gamma(1-\gamma)} \left(F_1 \left(\frac{b}{a}, \gamma, \bar{u} \right) \right)^2 d\bar{u} d\gamma \left[\left(\frac{d^2 y_j}{dx^2} \right) \sum_{i=1}^N \left(\frac{d^2 y_i}{dx^2} \right) \right]_{x=x_r}, \quad (20)$$

и энергетическая характеристика принимает следующий вид

$$\chi = 64(1-\mu^2)D \int_0^{b/D} \gamma \int_0^1 \sqrt{\gamma(1-\gamma)} \left(F_1 \left(\frac{b}{a}, \gamma, \bar{u} \right) \right)^2 d\bar{u} d\gamma \frac{\left[\left(\frac{d^2 y_j}{dx^2} \right) \sum_{i=1}^N \left(\frac{d^2 y_i}{dx^2} \right) \right]_{x=x_t}}{\int_0^l \left(\frac{d^2 y_j}{dx^2} \right)^2 dx}. \quad (21)$$

Результаты расчета вибродиагностических показателей. Прежде чем перейти к результатам расчета по формулам (1), (2), заметим, что кроме параметра нелинейности α (1), определяемого через энергетическую характеристику повреждения χ , для вычисления которой найдена обобщающая зависимость (17), необходимо располагать данными о демпфирующей способности исследуемой колебательной системы, т.е. о декременте колебаний δ . Действительное значение декремента δ , строго говоря, можно определить только экспериментально по затуханию свободных колебаний или по ширине резонансного пика конкретного исследуемого конструктивного элемента при колебаниях по рассматриваемой j -й резонирующей собственной форме при данных граничных условиях [5]. Кроме того, в случае амплитудозависимого декремента колебаний, например $\delta = \kappa_n A_j^{n-1}$, формулы (1), (2) принимают следующий вид:

$$\bar{A}_{2/1} = \sqrt[n]{\frac{0,58\alpha}{\kappa_n A_{1\Sigma}^{n-1}}} \lambda_{1j} \quad \text{при} \quad \bar{A}_{2/1} \leq 0,9; \quad (22a)$$

$$\bar{A}_{2/1} = \sqrt[n+1]{\frac{0,5256\alpha}{\kappa_n A_{1\Sigma}^{n-1}}} \lambda_{1j}^2 \quad \text{при} \quad \bar{A}_{2/1} > 0,9; \quad (22b)$$

$$\bar{A}_{1/2} \approx \sqrt[n]{\frac{4\alpha}{3\kappa_n A_{2\Sigma}^{n-1}}} \lambda_{2j}. \quad (23)$$

Существенным отличием формул (22), (23) от (1), (2) является зависимость вибродиагностических показателей от уровня возбуждения колебаний, определяющее значение полной амплитуды вынужденных колебаний $A_{1\Sigma}$ и $A_{2\Sigma}$ на частоте соответствующего резонанса.

Поэтому при расчете ограничимся раскрытием характера зависимости вибродиагностических показателей от особенности возбуждения колебаний, местоположения трещины, ее вида и относительных размеров, а также некоторым сравнением результатов расчета с численным решением с использованием конечноэлементной модели на примере консольного стержня диаметром $D = 20$ мм и длиной $l = 230$ мм (рис. 2) при супер- и субгармонических резонансных колебаниях по первой ($j = 1$) собственной форме в случае амплитудонезависимого декремента $\delta = 0,0112$.

Для рассматриваемого стержня имеем

$$y_i(x_P, x) = \frac{Pl^3}{EI(k_1 l)^4} X_i(x_P) X_i(x) \beta_i$$

при возбуждении колебаний сосредоточенной силой $P \sin \nu t$, приложенной в сечении $x = x_P$, и

$$y_i(x) = \frac{Bm_0\nu^2l^3}{EI(k_1l)^4} X_i(x) \int_0^l X_i(x) dx \beta_i$$

при перемещении заделки ($x=0$) $B \sin \nu t$, где

$$X_i(x) = (\operatorname{ch} k_i x - \cos k_i x) - \frac{\operatorname{ch} k_i l + \cos k_i l}{\operatorname{sh} k_i l + \sin k_i l} (\operatorname{sh} k_i x - \sin k_i x);$$

$$\beta_i = \left[\left(\frac{k_i l}{k_1 l} \right)^4 - \left(\frac{\nu}{\omega_1} \right)^2 \right]^{-1};$$

$k_i l$ – i -й корень частотного уравнения; m_0 – масса единицы длины стержня.

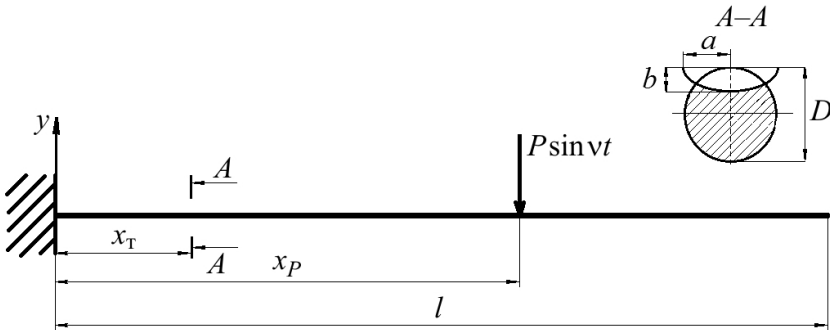


Рис. 2. Стержень круглого поперечного сечения с поверхностью полуэллиптической трещиной, нагруженный сосредоточенной вынуждающей гармонической силой.

Сравним результаты расчета с использованием зависимости (17) с ранее [1] полученной (10) при аппроксимирующей функции для случая $b/a = 0,4$:

$$F_1(z, \bar{\varphi}) = F_{1A}(z) + 0,511\Delta F_1 \bar{\varphi} - 1,511\Delta F_1 \bar{\varphi}^2,$$

где

$$\Delta F_1 = F_{1A}(z) - F_{1C}(z); \quad F_{1A}(z) = 0,56 - 0,027z - 0,058z^2 + 0,382z^3;$$

$$F_{1C}(z) = 4,426z - 20,9z^2 + 45,18z^3 - 43,7z^4 + 15,75z^5.$$

На рис. 3 представлены соответствующие расчетные зависимости вибродиагностических показателей $\bar{A}_{2/1}$ и $\bar{A}_{1/2}$ от места приложения вынуждающей силы x_P при местоположении трещины $x_T = 0,1l$ с относительными размерами $b/a = 0,4$ и $b/D = 0,2$. Как видно, имеется полное согласование как по характеру зависимостей, так и по значениям указанных показателей. Зависимость вибродиагностических показателей от места приложения вынуждающей силы обусловлена характером амплитудных функций прогиба $y_i(x_P, x)$. На рис. 3 также приведены данные, полученные с помощью конечноэлементной модели, при модуле упругости $E = 200$ ГПа и плотности $\rho = 7800$ кг/м³ материала стержня, которые согласуются по характеру зависимостей с результатами расчетов при существенно меньших значениях определяемых показателей. Ранее [1] было установлено, что основная причина различия обусловлена более низкими значениями КИН для исследуемой конечноэлементной модели

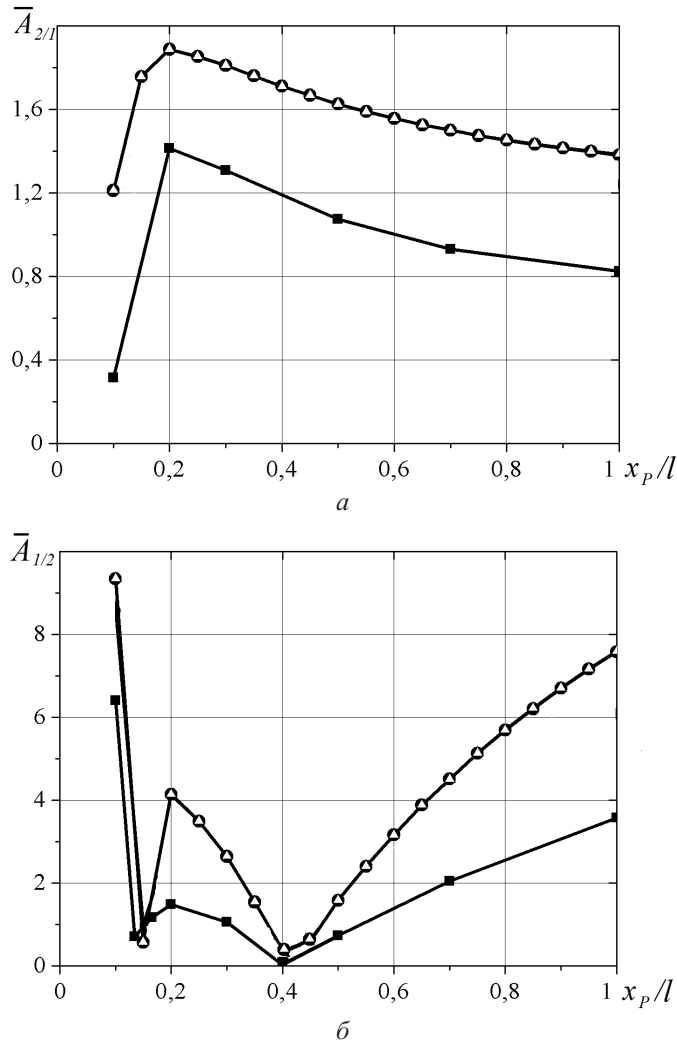


Рис. 3. Зависимость вибродиагностических показателей $\bar{A}_{2/1}$ (а) и $\bar{A}_{1/2}$ (б) от места приложения x_p/l вынуждающей силы $P \sin \nu t$ для трещины относительных размеров $b/a = 0,4$, $b/D = 0,2$ в сечении $x_t = 0,1l$: ■ – по методу конечных элементов; ●, △ – с использованием формул (10), (17) соответственно.

из-за относительно редкой сетки, поскольку с увеличением количества элементов повышается время проведения численных расчетов и возникает необходимость в дополнительных компьютерных ресурсах.

Зависимости $\bar{A}_{2/1}(x_p)$ и $\bar{A}_{1/2}(x_p)$, полученные с использованием (17), (21) для трещин одинаковой относительной глубины b/D , но с разным отношением полуосей эллипса b/a , свидетельствуют об уменьшении значения вибропоказателей с увеличением отношения b/a при практически одинаковом их характере (рис. 4).

Из представленных на рис. 3, 4 зависимостей следует, что в случае расположения трещины у заделки наиболее практически целесообразным является приложение вынуждающей силы на свободном конце стержня.

Расчетные зависимости показателей $\bar{A}_{2/1}$ и $\bar{A}_{1/2}$ от местоположения трещины x_t с разным отношением b/a при относительной глубине $b/D = 0,2$ для случаев

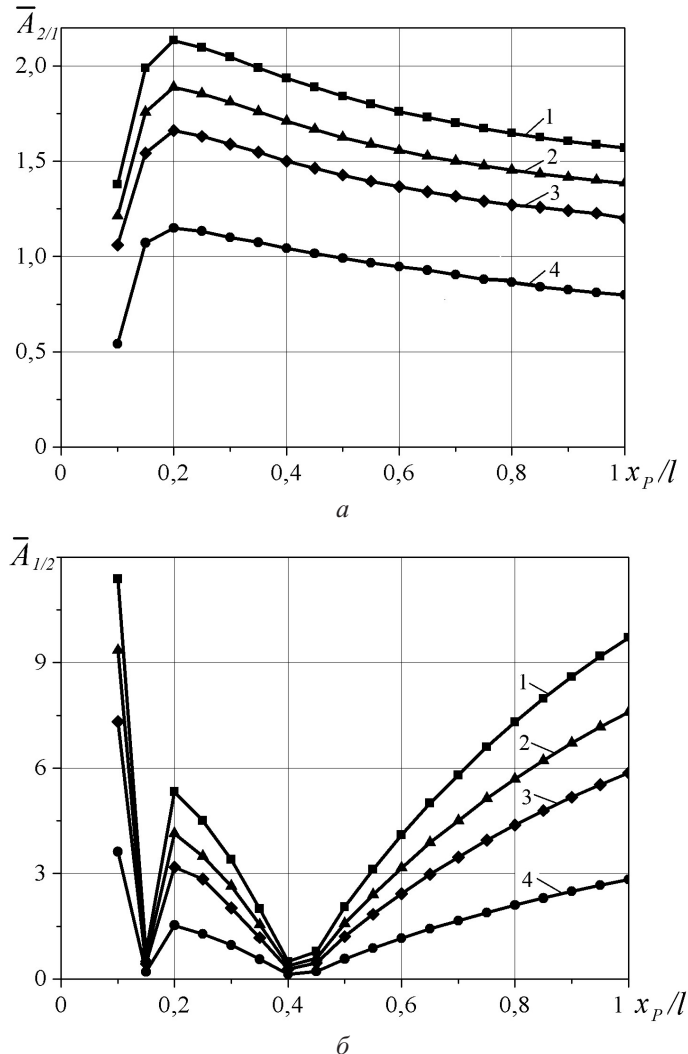


Рис. 4. Зависимость вибродиагностических показателей $\bar{A}_{2/1}$ (а) и $\bar{A}_{1/2}$ (б) от места приложения x_p/l вынуждающей силы $P \sin \nu t$ для трещины в сечении $x_t = 0,1l$ при $b/D = 0,2$ и разных значениях отношения полуосей b/a : 1 – $b/a = 0$; 2 – $b/a = 0,4$; 3 – $b/a = 0,6$; 4 – $b/a = 1$.

возбуждения колебаний сосредоточенной силой, приложенной в сечении $x_p = l$, и перемещением заделки представлены на рис. 5. Как видно, при постоянном отношении b/D с удалением трещины от заделки стержня значения $\bar{A}_{2/1}$ и $\bar{A}_{1/2}$ существенно уменьшаются, что обусловлено уменьшением M_t (9), определяемым значением $\left[\left(\frac{d^2 y_j}{dx^2} \right)_{i=1}^N \left(\frac{d^2 y_i}{dx^2} \right) \right]_{x=x_t}$ и изменение которого обуславливает некоторое увеличение

вибродиагностического показателя при субгармоническом резонансе (рис. 5, б) в области $x_t = 0,6 - 0,8l$. При этом наибольшее значение вибродиагностических показателей, так же как и на рис. 4, наблюдается для трещины с прямым фронтом ($b/a = 0$) и наименьшее – с полукруглым ($b/a = 1$). Особенности возбуждения колебаний при супергармоническом резонансе не оказывают существенного влияния на значение

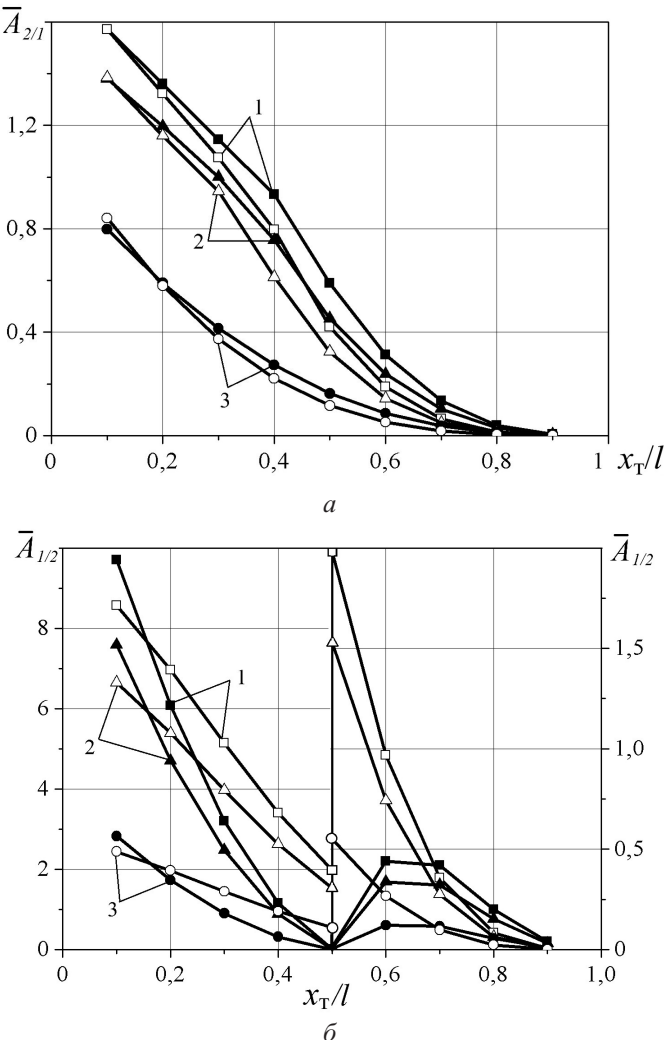


Рис. 5. Зависимость вибродиагностических показателей $\bar{A}_{2/1}$ (а) и $\bar{A}_{1/2}$ (б) от местоположения трещины x_t/l при ее относительной глубине $b/D = 0,2$ и разных значениях отношения полусосей b/a в случаях возбуждения колебаний вынуждающей силой $P \sin \nu t$ в сечении $x_P = l$ (\blacksquare , \blacktriangle , \bullet) и кинематическом перемещении заделки ($x = 0$) $B \sin \nu t$ (\square , \triangle , \circ): 1 – $b/a = 0$; 2 – $b/a = 0,4$; 3 – $b/a = 1$.

$\bar{A}_{2/1}$, а в случае субгармонического резонанса наблюдается различие как в значениях, так и в характере зависимости $\bar{A}_{1/2}$ от местоположения трещины при $x_t/l > 0,3$, что обусловлено разным характером функций $y_i(x_P, x)$ и $y_i(x)$.

Зависимость вибродиагностических показателей как от относительной глубины b/D (рис. 6), так и от относительной площади трещины S_{tp}/S (рис. 7) при различной ее конфигурации также четко выявляет уменьшение значений рассматриваемых вибропоказателей с увеличением отношения b/a .

Приведенный анализ показывает, что наблюдаемое уменьшение значений $\bar{A}_{2/1}$ и $\bar{A}_{1/2}$ с увеличением отношения b/a (рис. 4–6) в основном обусловлено уменьшением площади трещины при определенном влиянии изменения значения функции F_1 и характера ее распределения по фронту трещины (рис. 8).

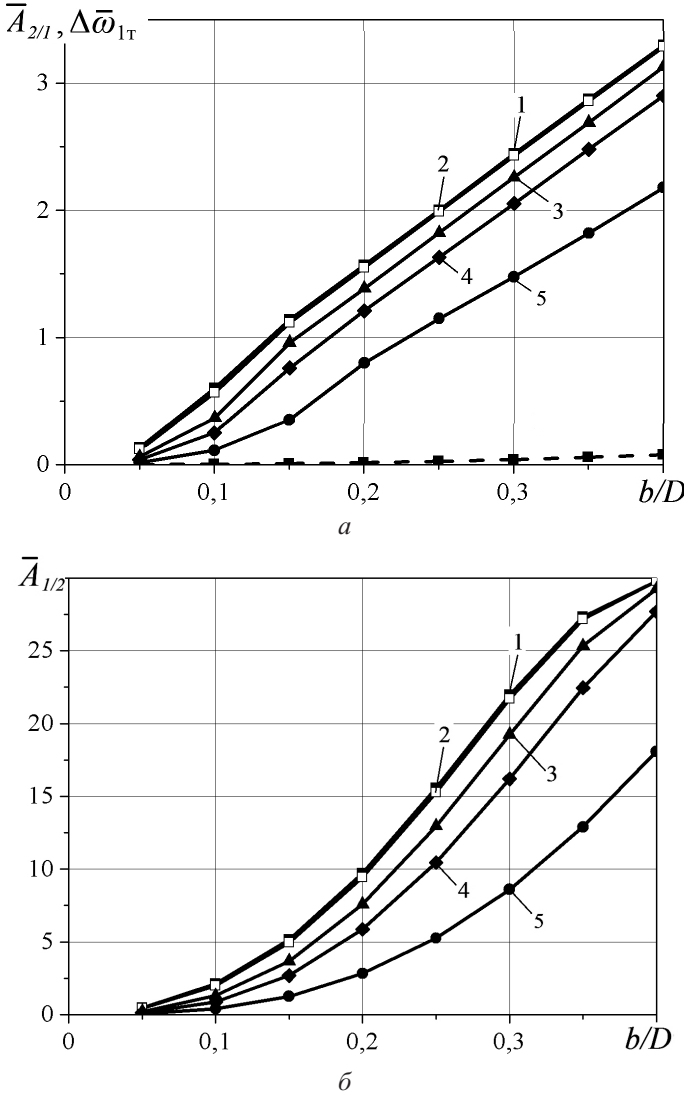


Рис. 6. Зависимость вибродиагностических показателей $\bar{A}_{2/1}$, $\Delta\bar{\omega}_{1T}$ (а) и $\bar{A}_{1/2}$ (б) от относительной глубины b/D трещины в сечении $x_t = 0,1l$ при разных значениях полуосей b/a в случае возбуждения колебаний вынуждающей силой $P \sin \nu t$ в сечении $x_P = l$: 1 – $b/a = 0$; 2 – $b/a = 0.1$; 3 – $b/a = 0.4$; 4 – $b/a = 0.6$; 5 – $b/a = 1$.

Для сравнительной оценки чувствительности показателей $\bar{A}_{2/1}$ и $\bar{A}_{1/2}$ на рис. 6, а штриховой линией показана также зависимость максимального относительного изменения собственной частоты резонирующей первой собственной формы колебаний стержня с дышащей трещиной от b/D при $b/a = 0$ [6]:

$$\Delta\bar{\omega}_{1T} = \frac{\omega_1 - \omega_{1T}}{\omega_1} = \frac{1 - \sqrt{1 - \alpha}}{1 + \sqrt{1 - \alpha}},$$

где ω_1 , ω_{1T} – собственная частота колебаний цельного стержня и с дышащей трещиной соответственно.

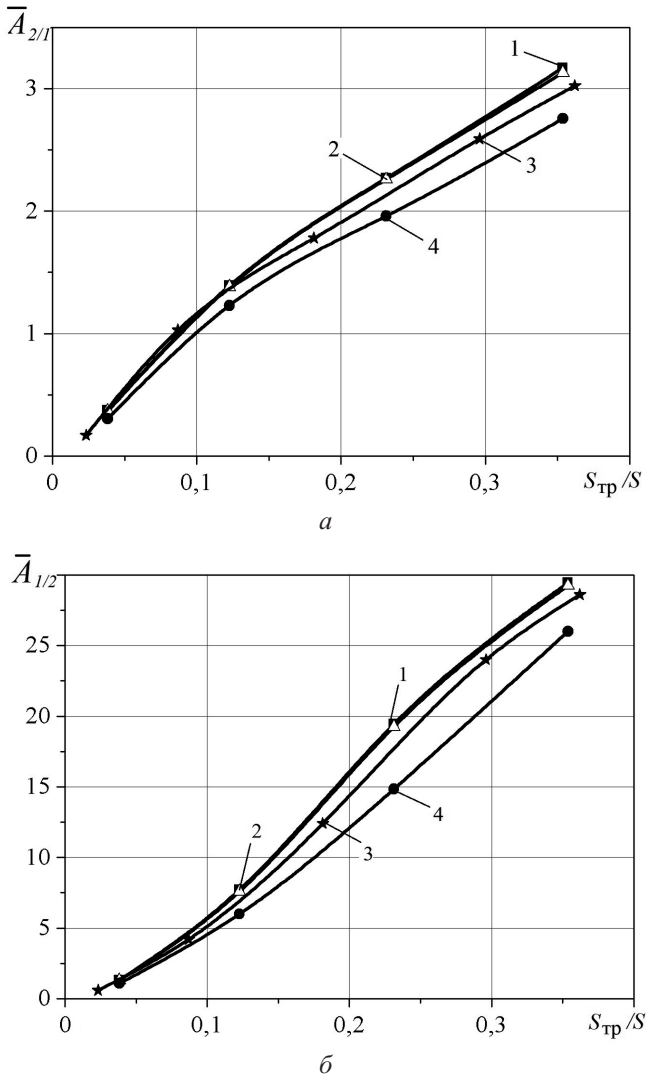


Рис. 7. Зависимость вибродиагностических показателей $\bar{A}_{2/1}$ (а) и $\bar{A}_{1/2}$ (б) от относительной площади S_{tp}/S трещины в сечении $x_t = 0,1l$ при разных значениях полуосей b/a в случае возбуждения колебаний вынуждающей силой $P \sin \nu t$ в сечении $x_p = l$: 1 – $b/a = 0$; 2 – $b/a = 0,4$; 3 – $b/a = 0,8$; 4 – $b/a = 1$.

Как видно, значение $\Delta\bar{\omega}_{1T}$ для рассматриваемых глубин трещины весьма мало. Так, для максимальной относительной глубины $b/D = 0,4$ значение $\Delta\bar{\omega}_{1T}$ составляет 0,077 для случая $b/a = 1$ и 0,031 для $b/a = 0$.

В заключение сравним некоторые результаты расчета для трещины с прямым фронтом ($b/a = 1$) с данными проведенного численного решения с использованием конечноэлементной модели (рис. 9). Рассматривался стержень диаметром $D = 23$ мм и длиной $l = 230$ мм с трещиной глубиной $b = 5,84$ мм и $x_t = 23$ мм. Механические характеристики стержня: модуль упругости $E = 200$ ГПа, плотность материала $\rho = 7800$ кг/м³, логарифмический декремент колебаний $\delta = 0,01$. Колебания стержня возбуждались сосредоточенной гармонической силой $P \sin \nu t$, приложенной в разных сечениях. Вибродиагностические показатели определялись, как и в работе [1], реше-

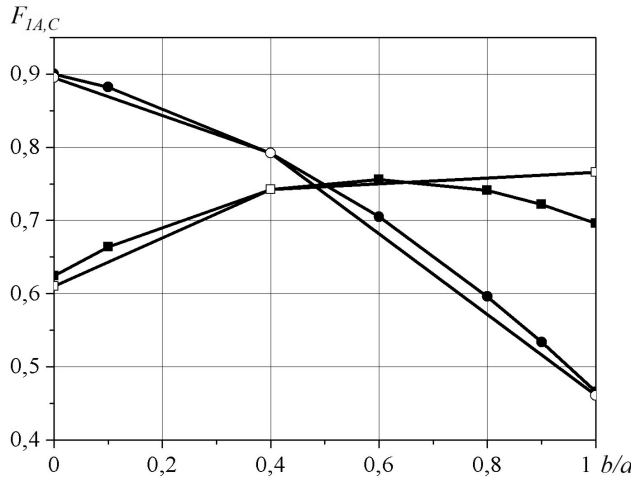


Рис. 8. Зависимость функции $F_{IA,C}$ (■, □) и $F_{IC,C}$ (●, ○) от отношения полуосей трещины b/a при ее относительной глубине $b/D = 0,3$ (темные точки) и относительной площади $S_{tp}/S = 0,23$ (светлые точки).

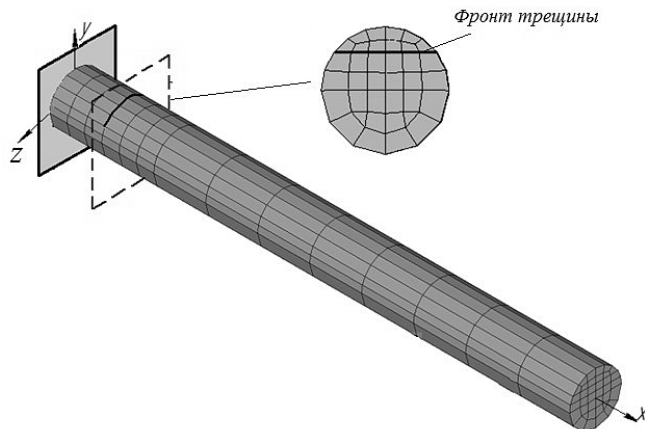
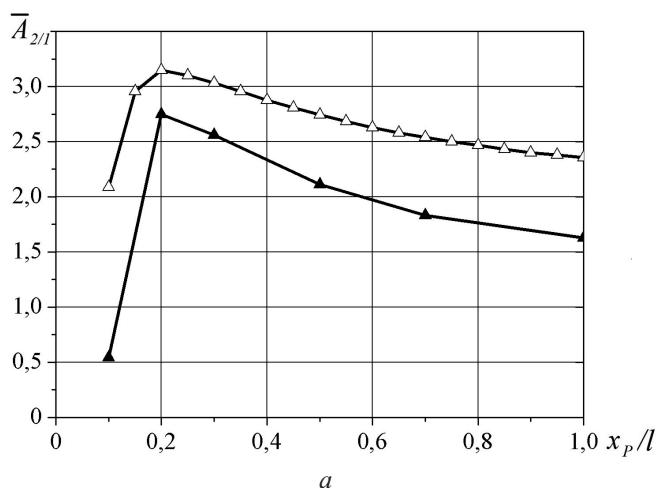


Рис. 9. Конечноэлементная модель круглого стержня с прямолинейной поверхностной дышащей трещиной.



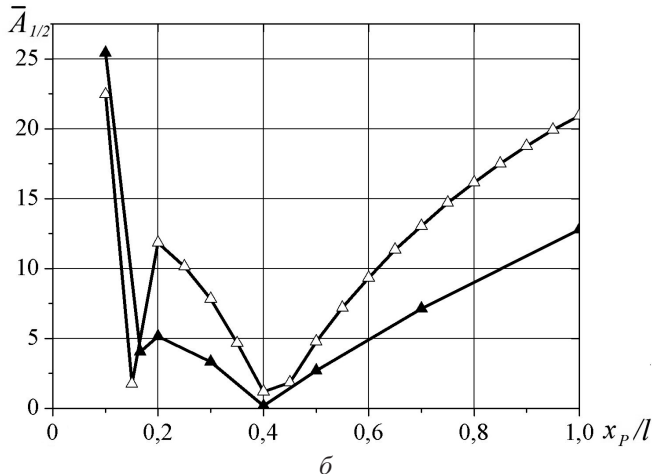


Рис. 10. Зависимость вибродиагностических показателей $\bar{A}_{2/1}$ (а) и $\bar{A}_{1/2}$ (б) от места приложения x_p/l вынуждающей силы $P \sin vt$ для прямолинейной трещины относительной глубины $b/D = 0,254$ в сечении $x_t = 0,1l$, полученная с использованием формулы (21) (Δ) и по данным численного решения с помощью конечноэлементной модели стержня (\blacktriangle).

нием контактной задачи для берегов трещины, а также с использованием метода Ньюмарка и FFT анализа. Результаты расчета и данные численного решения приведены на рис. 10 в виде зависимостей $\bar{A}_{2/1}$ и $\bar{A}_{1/2}$ от места приложения вынуждающей силы x_p . Как и в случае эллиптической трещины (рис. 3), наблюдается соответствие между характером зависимостей вибродиагностических показателей от места приложения силы x_p при существенном различии их значений, что обусловлено меньшим значением КИН для используемой конечноэлементной модели по сравнению с данными [3], принимаемыми при расчете энергетической характеристики повреждения (21).

Выводы

1. С использованием обобщенной формулы для КИН вдоль фронта полуэллиптической поверхности трещины в стержне круглого поперечного сечения рассмотрен приближенный метод расчета возможных значений вибродиагностических показателей наличия трещины разной геометрии, относительной глубины и местоположения при супергармоническом порядке 1/2 и субгармоническом 2-го порядка резонансах по какой-либо собственной форме изгибных колебаний.

2. На примере консольного стержня при силовом и кинематическом возбуждении резонансов по первой собственной форме колебаний получены характерные расчетные зависимости вибродиагностических показателей от места приложения вынуждающей силы x_p , местоположения x_t и относительной глубины b/D трещины при разных отношениях полусей эллипса b/a . При одинаковой относительной глубине трещины наибольшее значение вибродиагностических показателей наблюдается для трещин с прямым фронтом ($b/a = 0$) и наименьшее – с полукруглым ($b/a = 1$). Уменьшение значения вибропоказателей с увеличением отношения b/a обусловлено уменьшением площади трещины при некотором изменении значения и характера распределения КИН по фронту трещины. С ростом относительной глубины трещины $b/D > 0,05$ для всех значений b/a фиксируется ожидаемое увеличение значений искомых показателей.

3. Сравнение результатов расчета зависимости вибродиагностических показателей от места приложения вынуждающей силы с данными проведенного численного решения с использованием конечноэлементной модели стержня с трещиной свидетельствует о полном соответствии характера определяемых зависимостей при расхождении в значениях показателей, что обусловлено меньшими значениями КИН в используемой конечноэлементной модели из-за относительно редкой сетки.

Резюме

Розглянуто метод наближеного розрахунку можливих значень вібродіагностичних показників наявності у стрижні круглого поперечного перерізу дихаючої поверхневої тріщини з різною конфігурацією її фронту (напівеліптична, напівкругла і прямолінійна) при супер- і субгармонічному резонансах будь-якої власної форми згинних коливань. Розрахунок вібродіагностичних показників наявності тріщини виконано на прикладі консольного стрижня у випадку резонансу, що відповідає першій власній формі коливань при силовому і кінематичному збудженні. Отримано залежності діагностичних показників від місця прикладання змущувальної сили, місцеположення, відносної глибини і відносної площині тріщини для різних відношень півосей еліпса та для тріщин з прямолінійним і напівкруглим фронтом. Наведено деяке порівняння розрахункових результатів із даними, отриманими за допомогою скінченноелементної моделі.

1. *Matveev B. B., Onischenko E. A.* Вибродиагностические параметры наличия полуэллиптической дышащей трещины в стержне круглого поперечного сечения при супер- и субгармоническом резонансах // Пробл. прочности. – 2016. – № 2. – С. 5–19.
2. *Справочник по коэффициентам интенсивности напряжений.* В. 2 т. / Пер. с англ. под ред. Ю. Мураками. – М.: Мир, 1990. – Т. 2. – 448 с.
3. *Shin C. S. and Cai C. Q.* Experimental and finite element analyses on stress intensity factors of an elliptical surface crack in a circular shaft under tension and bending // Int. J. Fracture. – 2004. – **129**, No. 3. – P. 239–264.
4. *Carpinteri A.* Elliptical-arc surface cracks in round bars // Fatigue Fract. Eng. Mater. Struct. – 1992. – **15**, No. 11. – P. 1141–1153.
5. *Матвеев B. B.* Демпфирование колебаний деформируемых тел. – Киев: Наук. думка, 1985. – 264 с.
6. *Матвеев B. B., Яковлев A. П., Богинич O. E., Синенко E. A.* Приближенное аналитическое определение вибродиагностических параметров наличия закрывающейся трещины в стержневых элементах при субгармоническом резонансе // Пробл. прочности. – 2014. – № 3. – С. 21–37.

Поступила 04. 09. 2017